

مطالعه حساسیت شدت و مسیر طوفان حرای گونو به پارامترسازی‌های شارهای سطحی مدل Advanced Hurricane WRF

حسین ملکوتی^۱- استادیار هواشناسی، دانشگاه هرمزگان، بندرعباس، ایران

مهریار علی محمدی- کارشناس ارشد هواشناسی، دانشگاه هرمزگان، بندرعباس، ایران

تاریخ دریافت: ۱۳۹۲/۷/۲۶ تاریخ تصویب: ۱۳۹۳/۲/۱۷

چکیده

خطاهای ممکن در پیش‌بینی یک طوفان حرای می‌تواند از شدت بیش از واقعیت طوفان قبل از بارش زمینی، پارامترسازی ناکارآمد تبادل گرما، رطوبت و اندازه حرکت بین سطح اقیانوس با اتمسفر و به صورت کلی ناتوانی در پیش‌بینی دقیق شدت طوفان سرچشمه گیرد. به منظور برآورد این خطاهای، چندین پارامترسازی برای تعیین دقیق تبادل گرما، رطوبت و اندازه حرکت بین سطح با اتمسفر در تفکیک‌های افقی مختلف طراحی و با به کاربردن مدل AHW(Advanced Hurricane WRF) آزمایش قرارگرفته شده است. طوفان حرای شدید گونو، تشکیل شده در شمال اقیانوس هند (دریای عرب) برای برآورد این خطاهای انتخاب گردید و اطلاعات بهترین مسیر حرکت طوفان گونو به منظور راست آزمایی با شبیه‌سازی‌های انجام گرفته در این تحقیق، از سازمان هواشناسی هند (IMD) دریافت شده بود. نتایج شبیه‌سازی‌های صورت گرفته، حساسیت پیش‌بینی‌های شدت طوفان در عبارت‌های پیشینه سرعت باد و کمینه فشار مرکزی طوفان به انواع پارامترسازی‌های تعیین شده برای تبادل گرما، رطوبت و اندازه حرکت بین سطح با اتمسفر و همچنین تفکیک افقی را نشان داده است. حساسیت سنجی‌ها نشان داد که با رساندن تفکیک افقی تا ۹ کیلومتر، با انتخاب پارامترسازی دونلن برای تبادل اندازه حرکت و پارامترسازی لارج-پوند برای تبادل گرما و رطوبت، شدت پیش‌بینی شده طوفان به طور قابل توجهی بهبود پیدا کرده است. همچنین نتایج شبیه‌سازی‌ها نشان داد که مسیر پیش‌بینی شده برای طوفان مورد نظر، بر خلاف شدت پیش‌بینی شده با افزایش تفکیک افقی، ارتقای محسوسی پیدا نکرده و گاهی افت نشان داده و برای انواع پارامترسازی‌های شارهای سطحی حساسیت معنی داری نشان نداده بود.

کلیدواژه‌ها: AHW، شارهای سطحی، طوفان گونو، شدت طوفان، مسیر طوفان.

۱. مقدمه

طوفان‌های حاره‌ای با توجه به ریزش‌های شدید باران و سرعت بالای باد همراه آن به محض ورود به منطقه خسارات جانی و مالی جبران ناپذیری را بر جای می‌گذارند. به عنوان نمونه ابر طوفان گونو در کشور عمان و مناطق جنوب شرقی ایران اشاره نمود. پس با این نگاه به طوفان‌های مخرب حاره‌ای، مرکز پیش‌بینی هواشناسی و محققان را به جد مجاب خواهد کرد تا با بهترین راهکار، رخ داد این پدیده شوم را در صورت تشکیل درآینده به درستی پیش‌بینی کنند. حدود ۷٪ طوفان‌های حاره‌ای تشکیل شده در سرتاسر جهان در محدوده شمال اقیانوس هند (شامل دریای عرب و خلیج بنگال) و حدود ۲٪ طوفان‌های حاره‌ای فقط در منطقه دریای عرب تشکیل می‌شوند که می‌توانند نواحی از ایران را متاثر کنند (گزارش سازمان جهانی هواشناسی، ۲۰۰۸: ۲۸). مدل AHW به عنوان یک ابزار پرقدرت شبیه ساز و پیش‌بینی کننده در کنار مشاهدات ماهواره‌ای و سینوپتیکی می‌تواند نقش مهمی را در پیش‌بینی مسیر و شدت طوفان ایفا کند. مطالعه همدیدی بارش‌های سنگین الگوهای کم فشاری می‌تواند کمک بسزایی در شناخت فرایندهای دینامیکی و ترویدینامیکی در گیر داشته باشد که می‌توان به مطالعه لشکری و کیخسروی (۱۳۸۹) که از یک دیدگاه همدیدی به نحوه تشکیل طوفان گونو پرداخته و به مطالعه صلاحی و عالی جهان (۱۳۹۲) که به تحلیل همدیدی بارش سنگین ۲۰ اسفند ۱۳۸۹ پرداخته اشاره نمود. همچنین مشهدی و همکاران (۱۳۹۲) به شبیه سازی عددی امواج و مد ناشی از طوفان گونو در خلیج چابهار و سalarی و همکاران (۱۳۹۰) به تحلیل دینامیکی (شار هلیسیتی) طوفان گونو پرداخته‌اند؛ اما آنچه نهایتاً در بحث طوفان‌های حاره‌ای مهم است، پیش‌بینی مطلوب از مسیر و شدت این طوفان‌ها به منظور کاهش مخاطرات انسانی و محیطی می‌باشد. در راستای این منظور ملکوتی و علی‌محمدی (۱۳۹۱) برای اولین بار در ایران با استفاده از مدل AHW و در نظر گرفتن حساسیت به طراحی محدوده‌ها، آشیانه سازی، تفکیک افقی و زمان شروع تا حدی قابل قبول به این مهم دست پیدا کردند. این مطالعه در ادامه مطالعهٔ قبلی و ارتقای پیکربندی اولیه می‌باشد.

پیش‌بینی مسیر طوفان در طی سال‌های گذشته بهبود چشم‌گیری داشته که می‌توان گفت تقریباً این هدف حاصل شده است (ایلسبری^۲، ۲۰۰۵، ۶۴۴). شبیه‌سازی‌های منطقه‌ای و جهانی صورت گرفته نشان می‌دهد که بالا بردن تفکیک افقی یک ضرورت برای بهبود پیش‌بینی مسیر طوفان محسوب نمی‌شود (گورس^۳، ۲۰۰۶، ۲۵). پیش‌بینی شدت طوفان بر عکس پیش‌بینی مسیر طوفان، پیچیده‌تر بوده که این

^۱ طوفان گونو قوی‌ترین چرخند حاره‌ای است که تاکنون در دریای عرب و حتی در شمال اقیانوس هند رخ داده است.

تفاوت ناشی از این می‌باشد که مسیر طوفان به فرآیندهای بزرگ مقیاس جوی و اقیانوسی وابسته بوده، در حالی که شدت طوفان به ساختار درونی و ارتباطش با محیط بیرون وابسته است (مارکس و شای^۱، ۱۹۹۸، ۳۰۷). این مفهوم نشان دهنده این است که شدت طوفان یک مسئله چند مقیاسی می‌باشد. اخیراً توانمندی‌های محاسباتی و پارامترسازی برای مسائل چند بعدی^۲ حاصل شده است. این ضرورت برای ساختار درونی طوفان شامل چشم طوفان، دیواره چشم طوفان و نوارهای باران زا نزدیک دیواره چشم طوفان در نهایت به کاربرد ابزارهای عددی با تفکیک افقی فقط چند کیلومتر مانند^۳ MM5 و WRF^۴ منجر شد (دویس^۵، ۲۰۰۸، ۱۹۹۵). علاوه بر اهمیت تفکیک افقی در پیش‌بینی طوفان، تبادل گرمایی و رطوبتی که بین سطح اقیانوس و اتمسفر صورت می‌گیرد و ساختار لایه مرزی و همرفتی، همچنین تغییرات به وجود آمده در پارامترسازی اندازه حرکت به خاطر امواج تولید شده به خصوص در شرایط باد سطحی زیاد در سطح اقیانوس و در نهایت تأثیرات سرد شدن لایه آمیخته اقیانوس به عنوان موضوعات کلیدی در پیش‌بینی شدت طوفان محسوب می‌شوند. در این تحقیق، حساسیت شبیه‌سازی‌های طوفان گونو به انواع مختلف پارامترسازی‌های شارهای حرارتی و رطوبت و همچنین انواع مختلف پارامترسازی‌های انتقال اندازه حرکت بین سطح و جو و تفکیک افقی مورد آزمایش قرار گرفته است. البته از حساسیت شدت طوفان به پارامتر سازی‌های فیزیک ابر، لایه مرزی و همرفت در پیش‌بینی شدت طوفان نمی‌توان چشم‌پوشی کرد که در این تحقیق به آن‌ها پرداخته نشده است.

منطقه مورد مطالعه

منطقه مورد مطالعه در این پژوهش دریایی عربی می‌باشد که منشاً اصلی طوفان‌های حاره‌ای که به دریای عمان ورود دارند می‌باشد. طوفان گونو قوی‌ترین چرخند حاره‌ای است که تاکنون در دریای عرب و حتی در شمال اقیانوس هند رخ داده است. بطور معمول طوفان‌هایی که در دریای عرب شکل می‌گیرند ضعیف و دوره زندگی آن‌ها کوتاه مدت است. طوفان گونو در میان طوفان‌های دریایی عرب یک استثنای می‌باشد و علت آن حرکت غیر عادی به سمت دریای عرب و سواحل کشور عمان در شمال غربی اقیانوس هند بوده است. به گزارش سازمان هواشناسی هند (IMD^۶) (۲۰۰۸) این طوفان در تاریخ یکم ژوئن سال ۲۰۰۷ با فشار مرکزی ۱۰۰۲ هکتو پاسکال در موقعیت ۱۵ درجه شمالی و ۶۸ درجه شرقی تشکیل و در

1 Marks and Shay

2 Multiscale

3 Fifth-generation Pennsylvania State University–National Center for Atmospheric Research Mesoscale Model

4 Weather Research and Forecasting

5 Davis

6 Indian Meteorological Department

تاریخ هفت، ژوئن سال ۲۰۰۷ هنگام عبور از سواحل جنوب شرقی ایران و در طول جغرافیای ۵۸ درجه شرقی از شدت آن کاسته و رو به افول گردید. طوفان گونو در اوچ شدت خود کمترین فشار مرکزی حدود ۹۲۰ هکتو پاسکال و حداقل سرعت باد ۱۲۷ نات را تجربه کرد. میزان خسارت واردۀ این طوفان در کشور عمان ۴ میلیون دلار با ۵۰ نفر کشته و در کشور ایران حدود ۲,۵ میلیون دلار با ۳۲ نفر کشته گزارش شده است.

۲. مواد و روش‌ها

۱-۱. ابزار شبیه سازی: AHW

سازمان‌های پشتیبانی کننده WRF مانند^۱ NCEP و^۲ NCAR با استفاده از ساختار کلی مدل WRF به طراحی مدل‌هایی پرداختند که بتواند مسیر، شدت و ساختار یک طوفان را به بهترین نحو ممکن پیش‌بینی کند. مدل^۳ HWRF^۴ توسط NCEP و مدل AHW^۵ از این قبیل ابزارها می‌باشد. مدل WRF(ARW) برای پیش‌بینی طوفان‌های حاره‌ای می‌باشد که در این مطالعه به کار گرفته شده است. از ویژگی‌های منحصر به فرد آن می‌توان به موارد زیر اشاره کرد:

۱. قابلیت استفاده از آشیانه‌های قابل حرکت با روش آشیانه سازی دو سویه
۲. قابلیت جفت‌شدنگی با مدل‌های اقیانوسی به منظور به حساب آوردن دقیق دمای سطح دریا (SST)، عمق لایه آمیخته اقیانوسی و کاهش دما با عمق در زیر لایه آمیخته اقیانوسی
۳. طرح‌واره‌های اختصاصی برای ارتقای تبادل اندازه حرکت، حرارت و رطوبت بین اقیانوس و جو خصوصاً در شرایط باد سطحی زیاد
۴. دارا بودن چندین تکنیک برای ارتقای شرایط اولیه (مانند ابزار tc.exe) که موقعیت دقیق مرکز طوفان و شدت آن در زمان شروع شبیه سازی با استفاده از اطلاعات ماهواره‌ای و مشاهدات محلی برای مدل می‌تواند در نظر گرفته شود.

۲-۲. داده‌ها

داده‌های اولیه و شرایط مرزی در شبیه‌سازی‌های این تحقیق، داده‌های جهانی FNL^۵ سازمان NCEP^۶ می‌باشد. این داده‌ها در واقع پس پردازش شده داده‌های سیستم پیش‌بینی جهانی (GFS) می‌باشد که دارای

۱ National Centers for Environmental Prediction

۲ National Center for Atmospheric Research

۳ Hurricane WRF

۴ Sea Surface Temperature

۵ Final

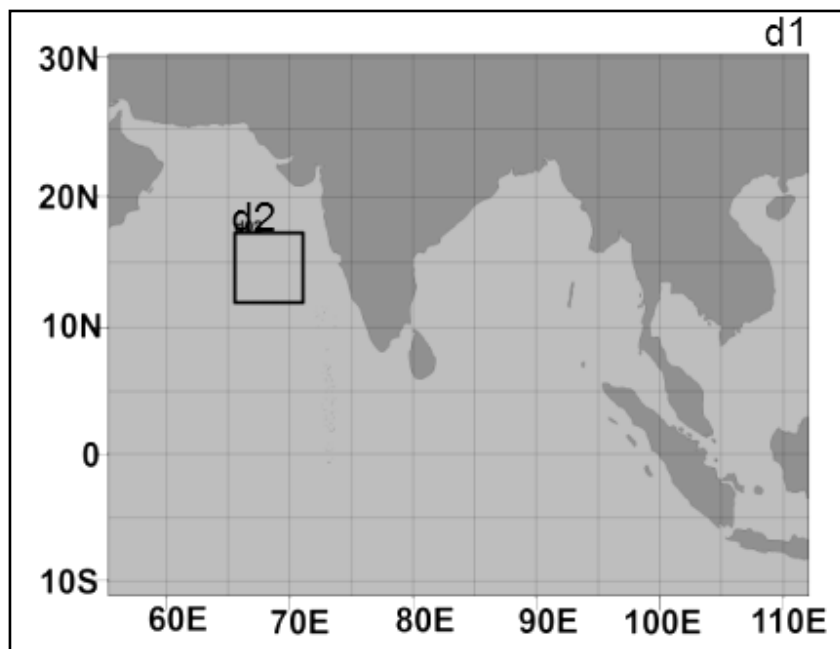
۶ Global forecasting system

تفکیک $1^\circ \times 1^\circ$ و به فاصله زمانی ۶ ساعته تهیه می‌شود. داده‌های دمای سطح دریا از NCEP با تفکیک $1/12^\circ$ دریافت شد که فقط برای زمان شروع شبیه سازی مورد استفاده قرار گرفت. عمق لایه آمیخته اقیانوس از سیستم همگون سازی داده‌های اقیانوسی جهانی سازمان NCEP دریافت شد که مقدار در حدود ۴۰ متر را برای ماه ژوئن نشان می‌دهد.

اطلاعات بهترین مسیر حرکت طوفان گونو به منظور راست آزمایی با شبیه‌سازی‌های انجام گرفته در این مطالعه، از سازمان هواسنایی هند (IMD) دریافت شده است.

۳-۲. روش تحقیق

مطالعه عددی قبلی روی طوفان گونو با ابزار AHW، حساسیت شبیه‌سازی‌های مسیر و شدت طوفان، تفکیک افقی و قائم و محدوده‌های انتخابی را نشان داده بودند (ملکوتی و علی‌محمدی، ۱۳۹۱: ۲۵-۳۵). از این رو موقعیت محدوده‌های انتخابی در این تحقیق برگرفته از تحقیق مذکور در حالت بهترین نتایج می‌باشد. محدوده اول با تفکیک افقی 27 km که دارای $110^\circ \times 145^\circ$ نقاط شبکه^۱ در راستای محورهای X و Y می‌باشد و محدوده دوم به صورت آشیانه قابل حرکت با تفکیک 9 km (دارای $45^\circ \times 45^\circ$ نقاط شبکه) داخل محدوده اول در نظر گرفته شد (شکل ۱). هر دو محدوده دارای ۴۱ لایه عمودی تا سطح فشاری $0,5\text{ hp}$ می‌باشد.



شکل ۱ محدوده d1 به صورت ثابت و تفکیک افقی 27 km و d2 قابل حرکت و تفکیک افقی 9 km

پارامترسازی های شار سطحی، تبادل اندازه حرکت و تبادل آنتالپی (گرمای و رطوبت) را شامل می شود. دو طرح واره اصلی برای تغییرات اندازه حرکت توسط چارنوک (۱۹۹۵) و دونلن (۲۰۰۵) ارائه شده است که طرح واره چارنوک به صورت پیش فرض در مدل های عددی مورد استفاده قرار می گیرد. در رابطه چارنوک طول زبری از طریق رابطه زیر داده می شود که در آن $C_{Z_0} = 0,0185 \times 10^{-5} \times 1,59 = 0,0185$ می باشد.

$$z_0 = c_{z_0} (u_*^2 / g) + o_{z_0} \quad (1)$$

سرعت اصطکاکی u_* به صورت رابطه زیر تعریف می شود که τ تنفس رینولدز و ρ چگالی هوا می باشد.

$$u_* = (\frac{F}{\rho})^{0.5} \quad (2)$$

رابطه بین طول زبری و سرعت اصطکاکی یک رابطه بازگشتی می باشد و مدل برای محاسبه آن از مقدارهای گام زمانی قبل استفاده و آن را تطبیق می دهد.

در لایه مرزی اتمسفری ضریب پسا به صورت رابطه زیر تعریف می شود که در آن V_{10} سرعت باد ارتفاع ۱۰ متری می باشد.

$$c_D = \left(\frac{u_*}{V_{10}} \right)^{0.5} \quad (3)$$

پارامتر سازی چارنوک برای ارتفاع ۱۰ متری در یک طوفان حاره ای ضریب پسا را در مقیاس ۱,۰۰۱ نشان می دهد که تا ۰,۰۰۳ برای یک طوفان حاره ای معمولی (سرعت باد ۴۰ الی ۵۰ متر بر ثانیه) افزایش پیدا می کند و این مقدار برای یک طوفان حاره ای درجه ۵ (سرعت باد بیش از ۷۰ متر بر ثانیه) به ۰,۰۰۵ می رسد. محمدی و همکاران (۱۳۹۲) در تحقیق خود جهت تعیین تأثیر توابع پایداری بر مشخصه های لایه مرزی از پارامتر سازی چارنوک استفاده کرده بودند. البته این مقدار ضریب درگ برای یک طوفان حاره ای درجه ۵ با مشاهدات محلی بلک (۲۰۰۷) که بیان کرده بود ضریب پسا در حدود ۰,۰۰۳ برای سرعت باد بالا ثابت می ماند سازگاری ندارد (دویس، ۲۰۰۸). دونلن (۲۰۰۴) با تست های آزمایشگاهی که انجام داده بود به ضریب پسا به مراتب کمتری از ضریب پسا چارنوک رسیده بود که این ضریب در آزمایشات به صورت خطی تا ۰,۰۰۲۴ برای سرعت های باد رفتار نشان داده بود. طول زبری در رابطه دونلن

$$Z_* = 10 \exp\left(-\frac{1}{\frac{u_*}{U}}\right) \quad (4)$$

از طریق معادله زیر به دست می آید:

که Z_0 دارای محدودیت کمینه $m^{-1} \times 10^{-3} \times 0,125$ و بیشینه $m^{-1} \times 10^{-3} \times 2,85$ می باشد.

موارد مطرح شده بالا بیان می کند که سرعت اصطکاک سطحی در هر دو رابطه چارنوک و دونلن مقدارهای متفاوتی از ضریب پسا تولید می کند که نهایت هر یک به طور متفاوت تغییرات محسوسی در اندازه

حرکت طوفان ایجاد می‌کنند. علاوه بر مطالب ارائه شده در خصوص تبادلات اندازه حرکت سطحی، مقیاس دمایی (Θ^*) و مقیاس رطوبت سطحی (q^*) و تبادلات حرارت و رطوبت از سطح اقیانوس به لایه مرزی اتمسفری حائز اهمیت می‌باشد. ضرایب تبادل برای حرارت (C_θ) و رطوبت (C_q) با استفاده از معادلات زیر ارائه می‌شوند:

$$C_\theta = u_* \theta^*/V_1, \Delta\theta C_q = u_* q^*/V_1, \Delta q \quad (5)$$

که در آن $\Delta\theta$ و Δq به ترتیب تفاوت دمای پتانسیل و رطوبت ویژه بین سطح و ارتفاع ۱۰ متری می‌باشد. رابطه‌های ۳ و ۵ نشان می‌دهد که تبادل حرارت و رطوبت سطحی با افزایش سرعت اصطکاک سطحی درنتیجه سرعت باد مخالفت می‌کند. ضریب تبادل برای آنتالپی (C_k) ترکیبی از حرارت و رطوبت می‌باشد که به صورت معادله زیر بیان می‌شود:

$$C_k = C_p \theta_* + L_v q_* \quad (6)$$

که در آن C_p و L_v به ترتیب ظرفیت گرمایی ویژه در فشار ثابت و گرمای نهان ویژه می‌باشد. در پارامترسازی‌های مختلف تأثیرات سرعت باد در تبادل حرارت و رطوبت نسبی، C_k می‌تواند به کندی با سرعت افزاش پیدا کند (کارلسون و بولاند^۱، ۱۹۷۸، ۱۰۱۱، ۱۹۷۸)، با سرعت ثابت بماند (الرج و پوند^۲، ۱۹۸۱، ۱۹۸۱) و یا با سرعت باد کاهش پیدا کند (گارات^۳، ۱۹۹۲، ۱۹۹۲، ۵۵۵).

در نتیجه بحث‌های بالا، طرح‌واره‌های مختلفی برای ضرایب درگ C_D و آنتالپی C_K وجود خواهد داشت که هر یک در پیش‌بینی شدت طوفان تأثیر چشم‌گیری خواهد داشت. به عنوان مثال نسبت C_D به C_K در پیش‌بینی شدت طوفان از فاکتورهای حائز اهمیت می‌باشد (اماونئل^۴، ۱۹۹۵، ۱۹۹۵ و دویس، ۲۰۰۸، ۲۰۰۸). در این تحقیق، در نهایت شش شبیه سازی برای تفکیک افقی ۲۷ و ۹ کیلومتر و سه پارامتر شار سطحی از شروع زمان ساعت ۰۰ روز دوم ژوئن به مدت شش روز مورد آزمایش قرار گرفت. شروع زمان شبیه سازی‌ها ساعت ۰۰ روز دوم ژوئن برگرفته از نتایج تحقیق ملکوتی و علیمحمدی (۱۳۹۱) و کانسه (۲۰۱۱) بود که نشان دادند شروع اجرای شبیه سازی در زمان قبل از عمیق شدن کم فشار یا به عبارتی دیگر، زمانی که فشار مرکزی سیستم تقریباً مقدار ۱۰۰۰ هکتو پاسکال می‌باشد دارای بهترین نتایج خواهد بود. شکل ۱ محدوده

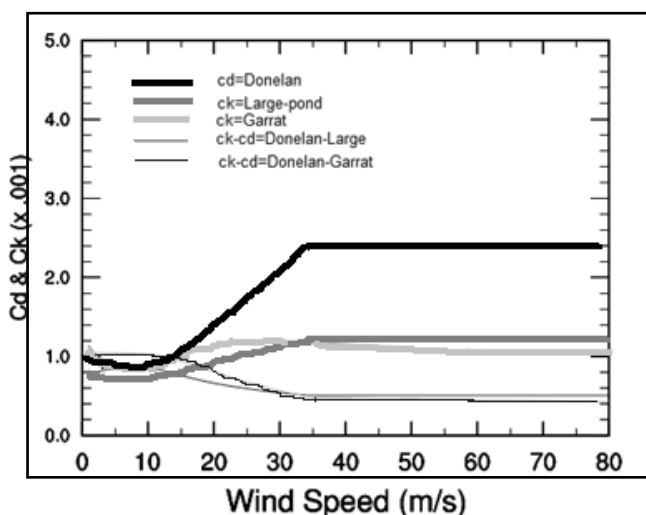
1 Carlson and Boland

2 Large and Pond

3 Garrat

4 Emanuel

انتخابابی، شکل ۲ رفتار ضرایب مطرح شده با سرعت باد را در قالب نمودار، جدول ۱ پیکربندی مدل و طرحواره‌های فیزیکی انتخابی و جدول ۲ نامگذاری شش آزمایش صورت گرفته را نشان می‌دهد.



شکل ۲ تغییرات ضرایب تبادل آنتالپی (C_k) و اندازه حرکت (C_D) با سرعت باد (دودهیا، ۲۰۱۰)

جدول ۱ نمای کلی از پیکربندی مدل استفاده شده در این تحقیق

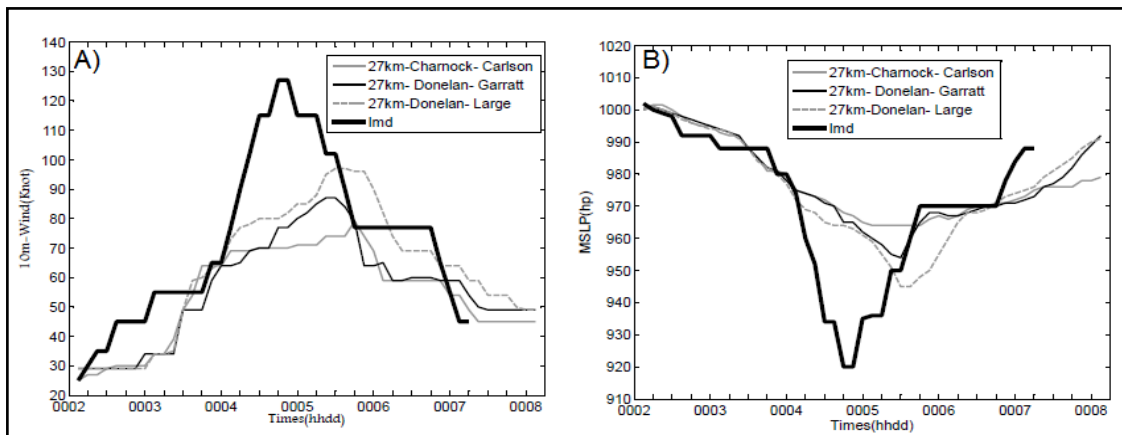
Physical parameterization	Scheme
Horizontal grid resolution	1- 27km 2- 9km
Model top	50 hp
Vertical grid mesh	41 level
Initial and Boundary conditions	(NCEP) global final analysis (FNL)
Simulation periods	146 h
Nesting	2-way
Shortwave radiation	Dudhia scheme (Dudhia, 1989)
Longwave radiation	Rapid Radiative Transfer Model (Mlawer et al., 1997)
Planetary boundary layer	Yonsei University (YSU) planetary scheme (Noh et al., 2003).
Land-surface	5-layer thermal diffusionscheme
Surface momentum exchange	1- Charnock (Charnock,1955) 2- Donelan (Donelan et al. 2004)
Surface enthalpy exchange	1- Carlson-Boland (Carlson and Boland, 1978) 2- Large-Pond (Large and Pond, 1981) 3- Garratt (Garratt, 1992)
Ocean mixed layer feedback	Active(h_0 and Γ equal to 50 m 0.14)
Cumulus scheme	Kain–Fritsch parameterization (Kain, 2004)
microphysicsscheme	WSM6 (Hong et al. 2004)

جدول ۲ اسامی شش آزمایش صورت گرفته به همراه تفکیک افقی و پارامترسازی های سطحی استفاده شده برای هر آزمایش

اسامی آزمایش ها	تفکیک افقی	C_D	C_K
27km-Charnock-Carlson	27km	Charnock	Carlson-Boland
27km-Donelan-Large	27km	Donelan	Large-Pond
27km-Donelan-Garratt	27km	Donelan	Garratt
9km-Charnock-Carlson	9km	Charnock	Carlson-Boland
9km-Donelan-Large	9km	Donelan	Large-Pond
9km-Donelan-Garratt	9km	Donelan	Garratt

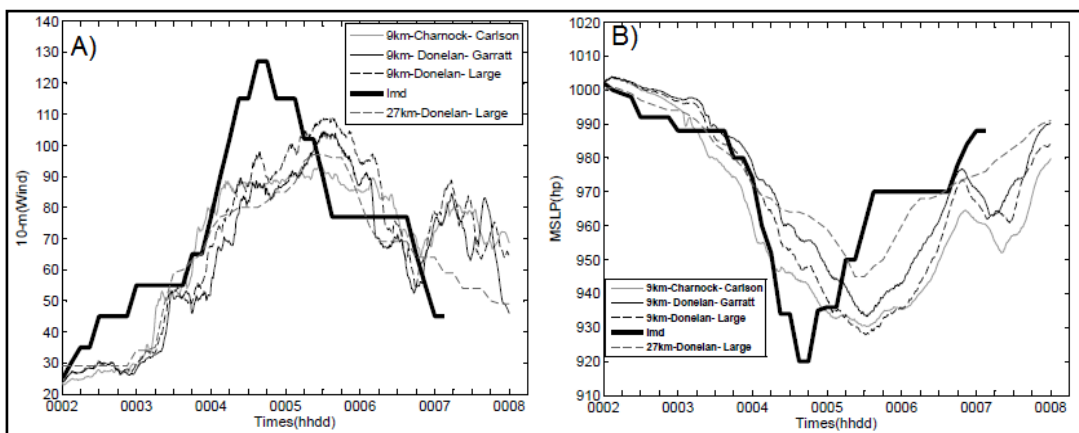
۳. بحث و نتایج

شکل ۳ نتایج شدت پیش‌بینی شده در دو عبارت بیشینه سرعت باد ۱۰ متری و کمینه فشار مرکزی طوفان را برای تفکیک افقی ۲۷ km نشان می‌دهد. به وضوح حساسیت شبیه‌سازی‌ها به سه پارامترسازی شار سطحی متفاوت در نتایج ارائه شده دیده می‌شود. فرمول بندی دونلن- لارج به علت ضریب پسای کمتر و ضریب آنتالپی پایدار نسبت به فرمول بندی چارنوک- کارلسون که دارای ضریب پسای بیشتر و ضریب آنتالپی افزایشی، سرعت باد بیشتر و همچنین فشار مرکزی کمتری را پیش‌بینی می‌کند. این حساسیت بعد از ۴۸ ساعت از شروع شبیه‌سازی زمانی که سرعت باد تا ۷۸ نات افزایش پیدا می‌کند، بطور واضح خود را نشان می‌دهد. بعد از این زمان ضریب پسای بیشتر در فرمول بندی چارنوک- کارلسون برخلاف فرمول بندی دونلن- لارج با افزایش سرعت باد مخالفت می‌کند. مقایسه بین دو فرمول بندی دونلن- لارج و فرمول بندی دونلن- گارات که دارای ضریب پسای یکسان و البته ضریب آنتالپی متفاوت می‌باشد، نشان می‌دهد که ضریب آنتالپی کاهشی با سرعت باد، تمایل دارد تا با افزایش سرعت باد نیز مخالفت کند. همچنین شکل ۳ برای هر سه پارامترسازی شار سطحی، نشان می‌دهد که در ۴۸ ساعت اول شبیه‌سازی سرعت باد به صورت ثابت در حال افزایش و همین‌طور در ۴۸ ساعت آخر شبیه‌سازی سرعت باد به صورت ثابت در حال کاهش می‌باشد. به‌طورکلی این نتیجه حاصل می‌شود که این پارامترسازی‌ها در سرعت باد بالا باعث حساسیت معنی داری در شدت شبیه‌سازی طوفان خواهد شد و پیکربندی‌های فیزیکی مطلوب در طوفان‌های شدید می‌تواند نتایج دقیق‌تری را ارائه دهد. در مجموع برای تفکیک افقی ۲۷ km این فرمول بندی دونلن- لارج بود که پیش‌بینی باکیفیت‌تری از سرعت باد نسبت به دو فرمول بندی دیگر داشت اما همچنان ۳۰ نات سرعت بیشینه باد را کمتر نسبت به واقعیت (IMD) پیش‌بینی کرده است.



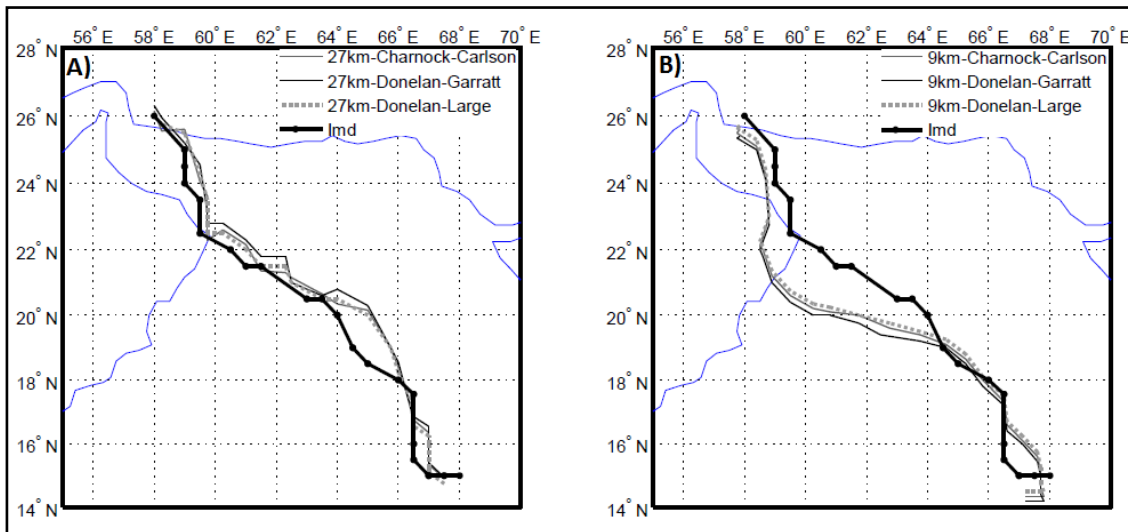
شکل ۳ شدت پیش‌بینی شده در عبارت‌های بیشینه سرعت باد ۱۰ متری (a) و فشار مرکزی طوفان (b) برای سه پارامترسازی شار سطحی در تفکیک افقی ۲۷ km

در ادامه به منظور بهبود این نتایج و مطالعه حساسیت شبه سازی به قدرت تفکیک و با در نظر گرفتن تحقیقات دویسو همکاران (۲۰۱۰)، آشیانه قابل حرکت به طور جدا گانه با تفکیک سازی افقی ۹ km داخل محدوده انتخابی (d1) در نظر گرفته شده است (شکل ۱) و برای بار دیگر سه پارامتر شار سطحی بحث شده، در این محدوده (تفکیک افقی ۹ km) مورد آزمایش قرار گرفته‌اند. شکل ۴ بهبود نتایج شدت پیش‌بینی شده را برای هر سه پارامترسازی شارهای سطحی در این تفکیک افقی نسبت به بهترین حالت آزمایش قبل (تفکیک افقی ۲۷ km) خصوصاً در نقطه اوج شدت طوفان را نشان می‌دهد. همان‌طور که قابل انتظار بود این فرمول‌بندی دونلن-لارج بود که پیش‌بینی باکیفیت‌تری از شدت طوفان به خصوص در نقطه اوج شدت طوفان نسبت به دو فرمول‌بندی دیگر ایفا کرد. فرمول بندی دونلن-لارج در تفکیک افقی ۹ km حدود ۱۲ knot مقدار سرعت طوفان و حدود ۲۰ hp فشار مرکزی طوفان را نسبت به فرمول بندی دونلن-لارج در تفکیک افقی ۲۷ km ارتقا می‌بخشد.



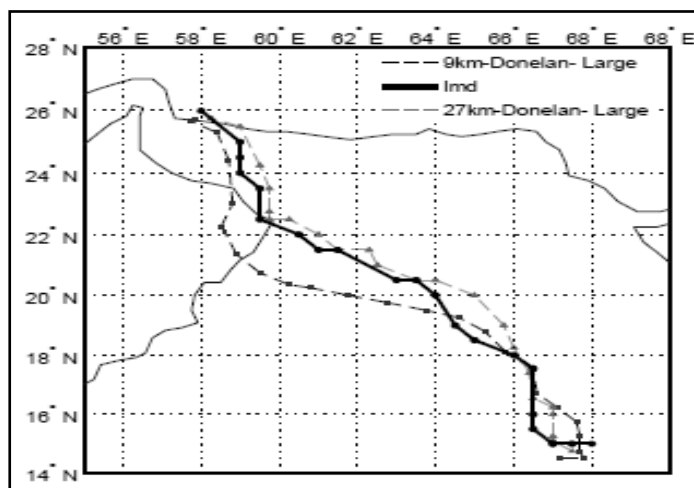
شکل ۴ شبیه شکل ۳، اما برای تفکیک افقی ۹ km و مقایسه آن با نتایج پارامترسازی بهینه دونلن-لارج در تفکیک افقی ۲۷ km

نتایج شبیه سازی ها نشان داده بود که مسیرهای پیش‌بینی شده، حساسیت معنی داری نسبت به پارامترهای انتخابی شار سطحی از خود نشان نمی‌دهد (شکل ۵) و البته به طور قابل توجهی نسبت به تفکیک افقی از خود حساسیت نشان داده‌اند (شکل ۶).



شکل ۵ مسیرهای پیش‌بینی شده برای سه پارامترسازی شار سطحی (تفکیک افقی ۹ km (b) و ۲۷ km (a)) و تفکیک افقی

همان طور که در شکل ۶ مشخص است افزایش تفکیک افقی، علی‌رغم بهبود در پیش‌بینی شدت طوفان (شکل ۴)، از کیفیت پیش‌بینی مسیر به خصوص در زمان عبور از سواحل شرقی کشور عمان کاسته است. از شکل ۶ پیداست که پیش‌بینی مدل از مسیر برای تفکیک افقی ۲۷ km در زمان برخورد به سواحل شرقی عمان با تأخیر زمانی ۱۸ ساعت، دارای اختلاف ۹ کیلومتر از IMD می‌باشد و در ادامه، طوفان با تأخیر زمانی ۱۵ ساعت و اختلاف ۴۰ کیلومتر از IMD خود را به سواحل جنوب شرقی ایران رسانده است. این در حالی است که پیش‌بینی مدل از مسیر برای تفکیک افقی ۹ km در زمان برخورد به سواحل شرقی عمان با تأخیر زمانی ۱۸ ساعت، دارای اختلاف تقریباً بیش از ۱۰۰ کیلومتر از IMD می‌باشد و البته در ادامه، طوفان با تأخیر زمانی ۲۱ ساعت و اختلاف ۴۰ کیلومتر از IMD خود را به سواحل جنوب شرقی ایران رسانده است. همان طور که در شکل ۵ و ۶ پیداست، اختلاف مسیر از واقعیت در بازه زمانی که طوفان در اوج شدت خود قرار دارد بیشینه می‌باشد، به طوری که برای تفکیک افقی ۹ km بعد از افول طوفان این اختلاف کمتر شده و مسیر پیش‌بینی شده به واقعیت نزدیک می‌شود. در نهایت این نتیجه حاصل می‌شود که بالا بردن تفکیک افقی یک ضرورت برای بهبود پیش‌بینی مسیر طوفان محسوب نمی‌شود (گورس، ۲۰۰۶، ۲۵) و چه بسا همان‌طور که در این تحقیق نشان داده شد مسیر را می‌تواند ضعیف‌تر نیز شبیه سازی کند.



شکل ۶ مقایسه مسیرهای پیش‌بینی شده برای تفکیک افقی ۹ km و تفکیک افقی ۲۷ km

به منظور ارائه خلاصه‌ای از عملکرد شش شبیه سازی صورت گرفته، جدول ۳ خطای در پیش‌بینی مسیر طوفان، در نزدیکی سواحل ایران و عمان و خطای فشار مرکزی و بیشینه سرعت باد ۱۰ متری طوفان در نقطه اوج شدت طوفان و همچنین خطای زمانی رسیدن طوفان به این نقاط را به طور کامل نشان می‌دهد.

جدول ۳ برای شش شبیه سازی صورت گرفته: خطای در پیش‌بینی مسیر طوفان، در نزدیکی سواحل ایران و عمان، خطای فشار مرکزی و بیشینه سرعت باد ۱۰ متری طوفان در نقطه اوج شدت طوفان و همچنین خطای زمانی رسیدن طوفان به این نقاط

اسامی آزمایش‌ها	ایران		oman		نقطه اوج شدت طوفان		
	position error (km)	time error (h)	position error (km)	time error (h)	center pressure error (hp)	max wind 10m error (knot)	time error (h)
27km-Charnock-Carlson	۴۰	-۱۵	۹	-۱۸	+۴۰	-۵۰	-۲۱
27km-Donelan-Large	۴۰	-۱۵	۹	-۱۸	+۲۰	-۳۰	-۱۵
27km-Donelan-Garratt	۳۵	-۱۵	۱۹	-۱۸	+۳۰	-۴۰	-۹
9km-Charnock-Carlson	۳۳	-۲۱	۱۲۳	-۱۸	+۱۰	-۳۵	-۹
9km-Donelan-Large	۳۰	-۲۱	۱۲۰	-۱۸	+۱۰	-۱۲	-۹
9km-Donelan-Garratt	۳۵	-۱۸	۱۲۵	-۱۸	+۱۲	-۱۷	-۹

۴. نتیجه‌گیری

بعد از آزمایش‌های صورت گرفته در این تحقیق، به وضوح مشاهده گردید که شدت طوفان گونو به طور قابل توجهی نسبت به پارامترهای شار سطحی و تفکیک افقی حساسیت از خود نشان داده است. از بین پارامتر سازی‌های انتخابی، فرمول‌بندی دونلن-لارج که دارای ضریب پسای کمتر و ضریب آنتالپی ثابت با سرعت باد می‌باشد پیش‌بینی باکیفیت‌تری از شدت طوفان گونو نسبت به سایر پارامترسازی‌های انتخابی از خود نشان داده است. نتایج حاصل شده و حساسیت نسبت به ضرایب به صورت کلی، مطالعات آزمایشگاهی موج نگاری ارائه شده توسط دونلن و چارنوک هماهنگ بوده است و تفاوت ضرایب پسا با واقعیت قابل چشم‌پوشی نیست که برای برآورد دقیق این ضریب نیاز به جفت‌شدگی مدل جوی با یک مدل موج برای پیش‌بینی دقیق ارتفاع موج و ضریب پسا می‌باشد (چن^۱، ۲۰۰۷، ۳۱۶). این راهکار از موضوعاتی است که در حال تجزیه و تحلیل و اجرایی شدن می‌باشد. عدم حساسیت مسیرهای شبیه سازی شده به پارامترهای شارهای سطحی به طور نمونه با نتایج دویس (۲۰۰۸) سازگاری و کیفیت مطلوب‌تر مسیرهای شبیه سازی شده در تفکیک افقی ۲۷ کیلومتر نسبت به تفکیک افقی ۹ km بار دیگر نتایج گورس (۲۰۰۶) را تأیید می‌کند که بیان کرده بود بالا بردن تفکیک افقی یک ضرورت برای بهبود پیش‌بینی مسیر طوفان محسوب نمی‌شود. در این تحقیق سعی بر این بود تا با ارزیابی آزمایش‌های صورت گرفته (حساسیت به پارامترهای شار سطحی و تفکیک افقی) گامی جهت ارائه پیکربندی مناسب بهمنظور پیش‌بینی مناسب‌تر مسیر و شدت طوفان‌های حاره‌ای منطقه دریایی عربی برداشته شود. پیش‌بینی مطلوب از مسیر و شدت طوفان‌های حاره‌ای، می‌تواند پتانسیل بالای جهت مدیریت و کاهش مخاطرات انسانی و اقتصادی رخ داد یک طوفان را ایجاد کند.

کتابنامه

- سالاری، س.، فراهانی، م.، آزادی، م. (۱۳۹۰). بررسی تغییرات هلیسیتی و شار هلیسیتی در توفان استوایی گونو، مجله ژئوفیزیک ایران، شماره ۱۱۵، صفحه ۹۷-۱۱۵.
- لشکری، ح.، کیخسروی، ق.، (۱۳۸۹). تحلیل سینوپتیکی توفان گنو و اثرات آن بر جنوب شرق ایران، مجله جغرافیا و برنامه‌ریزی محیطی، شماره ۳، صفحه ۲۰-۱.
- محمدی، ع.، فرهادیپور، س.، شیخ بهایی، ع.، (۱۳۹۲). توابع پایداری و تاثیر آن بر مشخصه‌های لایه مرزی اقیانوسی، موسسه ملی اقیانوس شناسی، شماره ۵، صفحه ۲۰-۳۰.

مشهدی، ل.، حاجی زاده ذاکر، ن.، سلطانپور، م.، مقیمی، س.، (۱۳۹۲). شبیه سازی عددی امواج و مد ناشی از توفان گنو در خلیج چابهار، فصلنامه مهندسی دریا، شماره ۱۷، صفحه ۳۷-۵۰.

ملکوتی، ح.، علیمحمدی، م.، (۱۳۹۱). شبیه سازی طوفان حاره ای گنو با استفاده از مدل Advanced Hurricane WRF-حساسیت به طراحی محدوده ها، آشیانه سازی، تفکیک افقی و زمان شروع، مجله علوم و فنون دریایی خرمشهر، شماره ۱۵، صفحه ۲۵-۳۵.

صلاحی، ب.، عالی جهان، م.، (۱۳۹۲). تحلیل سینوپتیک مخاطرات اقلیمی شهرستان یاسوج، مطالعه موردی: پارش سنگین ۲۰ اسفند ۱۳۸۹، مجله جغرافیا و مخاطرات محیطی، شماره ۵، صفحه ۷۳-۸۹.

Black, P. G., D'Asaro, E.A., Drennan, W. M., French, J. R., Niiler, P. P., Sanford, T. B., Terrill, E. J., Walsh, E. J., Zhang, J. A., 2007. Air-sea exchange in hurricanes: Synthesis of observations from the Coupled Boundary Layer Air-Sea Transfer Experiment. *Bulletin of the American Meteorological Society* 88, 357–374.

Carlson, T. N., Boland, F. E., 1978. Analysis of urban-rural canopy using a surface heat flux/temperature model. *Journal of Applied Meteorology* 17, 998–1013.

Charnock, H., 1955. Wind stress on a water surface. *Quarterly Journal of the Royal Meteorological Society* 81, 639–640.

Chen, S. S., Price, J. F., Zhao, W., Donelan, M. A., Walsh, E. J., 2007. The CBLAST-Hurricane Program and the next-generation fully coupled atmosphere–wave–ocean models for hurricane research and prediction. *Bulletin of the American Meteorological Society* 88, 311–317.

Davis, C., Wang, W., Chen, S. S., Chen, Y., Corbosiero, K., DeMaria, M., Dudhia, J., Holland, G., Klemp, J., Michalakes, J., Reeves, H., Rotunno, R., Snyder, C., Xiao, Q., 2008. Prediction of landfalling hurricanes with the Advanced Hurricane WRF model. *Monthly Weather Review* 136, 1990–2005.

Donelan, M. A., Haus, B. K., Reul, N., Plant, W. J., Stiassnie, M., Graber, H. C., Brown, O. B., Saltzman, E. S., 2004. On the limiting aerodynamic roughness of the ocean in very strong winds. *Geophysical Research Letters* 31, L18306, doi:10.1029/2004GL019460.

Dudhia, J., Davis, C., Wang, W., Torn, R., 2011. HFIP Physics in AHW. Hurricane Tutorial NCAR/ NESL/ MMM, Apr 27 – 29, 2011.

Dudhia, J., 1989. Numerical study of convection observed during the winter monsoon experiment using a mesoscale two-dimensional model. *Journal of the Atmospheric Sciences* 46, 3077–3107.

Dudhia, J., Chen, S., 2004. A revised approach to ice microphysics process for the bulk parameterization of clouds and precipitation. *Monthly Weather Review* 132, 103–120.

- Elsberry, R. L., 2005. Achievement of USWRP hurricane landfall research goal. *Bulletin of the American Meteorological Society* 86, 643–645.
- Emanuel, K. A., 1995. Sensitivity of tropical cyclones to surface exchange coefficients and a revised steady-state model incorporating eye dynamics. *Journal of the Atmospheric Sciences* 52, 3969–3976.
- Frank, W. M., George, S. Y., 2007. The interannual variability of tropical cyclones. *Monthly Weather Review* 135, 3587–3598.
- Garratt, J. R., 1992. *The Atmospheric Boundary Layer*. Cambridge University Press, 316 pp.
- Goerss, J. S., 2006. Prediction of tropical cyclone track forecast error for Hurricanes Katrina, Rita, and Wilma. *Preprints, 27th Conf. on Hurricanes and Tropical Meteorology, Monterey, CA, American Meteorological Society* 11A.1., 1-12.
- Hong, S. Y., Dudhia, J., Chen, S. H., 2004. A revised approach to ice microphysical processes for the bulk parameterization of clouds and precipitation. *Monthly Weather Review* 132, 103–120.
- Indian Meteorological Department report 2008. Report on Cyclonic Disturbances over North Indian Ocean during 2007. RSMC-Tropical Cyclone, New Delhi, 1-93.
- Large, W. G., Pond, S., 1981. Open ocean momentum flux measurements in moderate to strong winds. *Journal of Physical Oceanography* 11, 324–336.
- Lashkari, H., Kikhosravi, GH., 2010. Synoptic Analysis of Gonu storm and its effects on the East South of Iran. *Journal of Geography and Environmental Planning* 3, 1-20.
- Malakooti, H., Alimohammadi, M., 2012. Simulation of Cyclone Gonu using the Advanced Hurricane WRF: Sensitivity to Domain Coverage, Nesting, Resolution and Starting Time. *Journal of Marine Science and Technology*, Khorramshahr 15, 25-35.
- Marks, F. D., Shay, L. K. 1998. Landfalling tropical cyclones: Forecast problems and associated research opportunities. *Bulletin of the American Meteorological Society*, 79, 305–323.
- Mashhadi, L., HajizadehZaker, N., Soltanpour, M., Moghimi, S., 1392. Numerical simulation of waves and tide induced Gonu storm in Chabahar Gulf. *Journal of Marine Engineering* 17, 37-50.
- Mlawer, E. J., Taubman, S. J., Brown, P. D., Iacono, M. J., Clough, S. A., 1997. Radiative transfer for inhomogeneous atmosphere: RRTM, a validated correlated-k model for the long-wave. *Journal of Geophysical Research* 102, 16663–16682.
- Mohammadi, A., Farhadipour, S., Shekhabaei, A., 2013. Stability functions and its impact on the oceanic boundary layer characteristics. *National Institute of Oceanography* 5, 20-30.

- Noh, Y., Cheon, W. G., Hong, S. Y., Raasch, S., 2003. Improvement of the k-profile model for the planetary boundary layer based on large eddy simulation data. *Boundary-Layer Meteorology* 107, 401–427.
- Kain, J. S., 2004. The Kain–Fritsch Convective Parameterization: An Update. *Journal of Applied Meteorology* 43, 170–181.
- Kanase, R. D., Salvekar, P. S., 2011. Numerical simulation of severe cyclonic storm LAILA (2010): Sensitivity to initial condition & cumulus parameterization scheme. Disaster Risk Vulnerability Conference. Germany, March 12–14, 2011.
- Salari, S., Farahani, M., Azadi, M., 2011. A study of helicity and helicity flux in the Gonu tropical storm. *Iranian Journal of Geophysics* 2, 97-115.
- Salahi, B., Alyjhan, M., 2013. Synoptic analysis of climate risks in Yasouj city, Case Study: Heavy rain on 20th Esfand 1389, *Journal of Geography and Environmental Hazards* 5, 73-89.
- World Meteorological Organization technical document, 2008. Tropical cyclone operational plan for the Bay of Bengal and the Arabian Sea. Document No. WMO/TDNo.84, 1-89.
- 54- Webb, R. H., Rathburn, S. L., 1988. Paleoflood hydrologic research in the soutwstern united states. *Transportation Research Record* 1201, 9-21.